

**Mecânica Analítica**

MEFT 2020/21

**Avaliação Contínua – Ficha III**

Justifique cuidadosamente as suas respostas e apresente todos os cálculos que efectuar. A submissão deve ser feita no Fénix (**Estudante » Submeter » Projetos**).

**Questão 1. [5 val]** *Dinâmica de vórtices.*— Vórtices são estruturas que aparecem em vários sistemas físicos, tais como fluidos, supercondutores e superfluidos. A duas dimensões, a Teoria de Helmholtz consiste em considerar os vórtices como singularidades num determinado ponto  $\vec{r}_i = (x_i, y_i)$ . Para um sistema de  $N$  vórtices, o Hamiltoniano de Helmholtz é dado por

$$H = -\frac{1}{2} \sum_{j \neq i}^N \gamma_i \gamma_j \ln |\vec{r}_i - \vec{r}_j|,$$

onde  $\gamma_i$  representa a *circulação* de cada vórtice (que tem unidades físicas de momento angular por unidade de massa). As coordenadas  $x_i$  e  $y_i$  são canonicamente conjugadas o que, à primeira vista, parece estranho. De seguida, vamos perceber que não há qualquer problema. Apenas temos de munir esta teoria do seguinte parênteses de Poisson,

$$\{f, g\}_{\text{Helmholtz}} = \sum_i \frac{1}{\gamma_i} \left[ \frac{\partial f}{\partial x_i} \frac{\partial g}{\partial y_i} - \frac{\partial f}{\partial y_i} \frac{\partial g}{\partial x_i} \right].$$

a) [1 val] Recorrendo ao formalismo dos parênteses de Poisson, mostre que

$$\dot{x}_i = - \sum_{j \neq i} \gamma_j \frac{y_i - y_j}{|\vec{r}_i - \vec{r}_j|^2}, \quad \dot{y}_i = \sum_{j \neq i} \gamma_j \frac{x_i - x_j}{|\vec{r}_i - \vec{r}_j|^2}.$$

b) [1 val] Argumente que se recupera o parênteses de Poisson usual se definirmos o momento canónico conjugado na forma

$$\vec{p}_i = \gamma_i \epsilon \cdot \vec{r}_i,$$

onde  $\epsilon$  é o símbolo de Levi-Civita a duas dimensões. Não acha curioso que o momento canónica seja proporcional à posição (ao invés da velocidade)?

c) [1.5 val] Mostre que as seguintes quantidades são conservadas,

$$P_x = \sum_i \gamma_i y_i, \quad P_y = - \sum_i \gamma_i x_i.$$

Comente fisicamente o que acaba de determinar.

- d) [1.5 val] Considere o caso  $N = 2$ . Mostre que a “dança” deste par de vórtices ocorre com a frequência

$$\omega = \frac{\gamma_1 + \gamma_2}{R^2},$$

onde  $R = \sqrt{(x_1 - x_2)^2 + (y_1 - y_2)^2}$  é uma constante do movimento.

**Questão 2. [5 val]** *Teoria de perturbações no tempo.*— Considere um Hamiltoniano da forma

$$H(q, p, t) = H_0(q, p, t) + \Delta H(q, p, t),$$

onde  $\Delta H \ll H_0$  pode ser considerado como uma perturbação ao Hamiltoniano  $H_0$ . Como vimos,  $H_0$  admite uma função principal de Hamilton  $S(q, \alpha, t)$  que é uma função geradora da transformação canônica  $(p, q) \rightarrow (P, Q) = (\alpha, \beta)$ , onde  $(\alpha, \beta)$  são as soluções das equações triviais do movimento que obtemos com  $K_0 = 0$ . Nada nos impede, ainda assim, de usarmos a mesma função  $S$  para gerar a transformação canônica para  $H$ . Contudo, neste caso, as novas variáveis

$$P = \alpha = \alpha(q, p), \quad Q = \beta = \beta(q, p)$$

não serão mais constantes.

- a) [1 val] Comece por mostrar que as novas variáveis obedecem às seguintes equações do movimento

$$\dot{\alpha} = -\frac{\partial \Delta H}{\partial \beta}, \quad \dot{\beta} = \frac{\partial \Delta H}{\partial \alpha}.$$

- b) [1 val] A ideia subjacente à teoria de perturbações é de resolvermos as novas equações do movimento como expansões. Sejam  $(\alpha_0, \beta_0)$  as soluções (constantes) obtidas a partir de  $H_0$ . Mostre que, para ordens superiores  $n > 0$ , temos

$$\dot{\alpha}_n = -\left. \frac{\partial \Delta H}{\partial \beta} \right|_{\beta_{n-1}}^{\alpha_{n-1}}, \quad \dot{\beta}_n = \left. \frac{\partial \Delta H}{\partial \alpha} \right|_{\beta_{n-1}}^{\alpha_{n-1}}.$$

- c) [2 val] Vamos aplicar este formalismo ao caso do oscilador anarmônico,

$$H = \frac{p^2}{2m} + \frac{1}{2}m\omega^2 q^2 + \frac{1}{4}m^2\lambda q^4,$$

onde  $\lambda$  é um parâmetro pequeno. Comece por construir a equação de Hamilton-Jacobi para o problema harmônico e mostre que

$$\dot{\beta}_1 = \frac{2\lambda\alpha_0}{\omega^4} \sin^4[\omega(t + \beta_0)], \quad \dot{\alpha}_1 = \frac{4\lambda\alpha_0^2}{\omega^3} \sin^3[\omega(t + \beta_0)] \cos[\omega(t + \beta_0)].$$

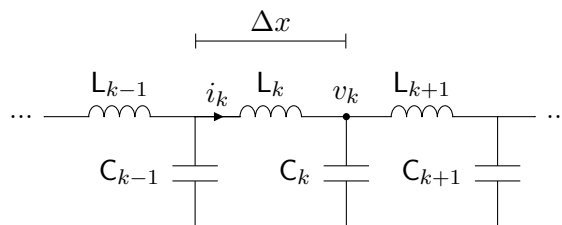
- d) [1 val] Poderíamos, agora, voltar ao problema original e determinar as perturbações  $\Delta q = q_1 - q_0$  e  $\Delta p = p_1 - p_0$  recorrendo às relações de transformação após a integração das equações obtidas na alínea anterior. Contudo, antes disso, vamos considerar as evoluções *seculares*, i.e. aquelas obtidas ao fim de um período  $\tau = 2\pi/\omega$ ,

$$\langle \dot{\Psi}_1 \rangle = \frac{\omega}{2\pi} \int_0^{2\pi/\omega} \dot{\Psi}_1 dt, \quad \Psi = \{\alpha, \beta\}.$$

Determine as quantidades seculares  $\langle \dot{\beta}_1 \rangle$  e  $\langle \dot{\alpha}_1 \rangle$  e mostre que, para tempos longos,  $\omega t \gg 1$ ,  $\beta_1 \simeq \langle \dot{\beta}_1 \rangle t$  e  $p_1 = p_0$ . Interprete fisicamente estes resultados e verifique que a perturbação à frequência é  $\Delta\omega = 3\lambda E/(4\omega^3)$ . [Sugestão: compreenda que, naturalmente, a relação entre  $\beta$  e  $q$  é a mesma a todas as ordens.]

**Questão 3. [10 val]** *Equações do Telégrafo.*— Como sabe, o formalismo lagrangeano pode ser aplicado a uma miríade de situações físicas, de entre as quais os circuitos eléctricos. Neste problema iremos desenvolver um modelo para a propagação de sinais electromagnéticos numa linha de transmissão (por exemplo, um cabo coaxial).

Começemos por aproximar a linha de transmissão, por enquanto sem perdas, por uma sequência de indutores e condensadores como indicado no circuito equivalente apresentado ao lado. Considere que cada elemento é caracterizado pela sua impedância distribuída ao longo da linha, isto é,  $L = l\Delta x$  e  $C = c\Delta x$ , e que  $i_k$  são as correntes que percorrem as bobinas e  $v_k$  as tensões em cada nodo relativamente à terra.



Como coordenadas generalizadas para este problema iremos utilizar as cargas  $Q_k$  nos indutores, de tal forma que  $i_k = \frac{\partial Q_k}{\partial t}$  e os fluxos  $P_k$  tal que  $v_k = \frac{\partial P_k}{\partial t}$ .

a) [2 val] Derive uma densidade lagrangeana que descreva o limite contínuo da linha de transmissão.

(i) Mostre que podemos escrever a energia armazenada no sistema discreto como

$$\sum_k \frac{1}{2} l \dot{Q}_k^2 \Delta x + \sum_k \frac{1}{2} c \dot{P}_k^2 \Delta x.$$

(ii) Justifique que a energia transferida para os condensadores  $k$  é dada por

$$\sum_k \frac{1}{2} \dot{P}_k (Q_{k+1} - Q_k) - \sum_k \frac{1}{2} P_k (\dot{Q}_{k+1} - \dot{Q}_k).$$

[Sugestão: note que a carga em cada condensador  $k$  é igual a  $Q_{k+1} - Q_k$  e que a corrente que o percorre  $\dot{Q}_k - \dot{Q}_{k+1}$ ]

(iii) Por fim, tome o limite contínuo e portanto obtenha a densidade lagrangeana deste sistema em termos dos campos  $Q$  e  $P$ , justificando cada um dos termos e a sua relação com o modelo discreto

$$L = \int \mathcal{L} dx = \int \frac{1}{2} l \left( \frac{\partial Q}{\partial t} \right)^2 + \frac{1}{2} c \left( \frac{\partial P}{\partial t} \right)^2 + \frac{1}{2} \frac{\partial P}{\partial t} \frac{\partial Q}{\partial x} - \frac{1}{2} P \frac{\partial^2 Q}{\partial x \partial t} dx$$

b) [2 val] Mostre que, para densidades lagrangeanas  $\mathcal{L}(\psi, \partial_\mu \psi, \partial_{\mu\nu} \psi)$ , que dependem de derivadas de segunda ordem nos campos, as equações de Euler-Lagrange se escrevem:

$$\frac{\partial \mathcal{L}}{\partial \psi} - \partial_\mu \frac{\partial \mathcal{L}}{\partial (\partial_\mu \psi)} + \partial_{\mu\nu} \frac{\partial \mathcal{L}}{\partial (\partial_{\mu\nu} \psi)} = 0, \quad \nu \geq \mu$$

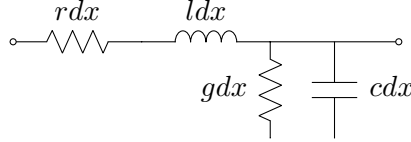
Utilize este resultado e a densidade lagrangeana determinado anteriormente para obter as equações de evolução dos campos  $Q$  e  $P$ .

c) [3 val] Verifique que a densidade lagrangeana

$$\mathcal{L} = \frac{1}{2} l \left( \frac{\partial Q}{\partial t} \right)^2 + \frac{1}{2} c \left( \frac{\partial P}{\partial t} \right)^2 + \frac{\partial P}{\partial t} \frac{\partial Q}{\partial x}$$

também reproduz a mesma evolução dos campos  $Q$  e  $P$ . De seguida, utilize-a para determinar o tensor energia-momento  $T_\mu^\nu$ , para o campo  $Q$ , discutindo o seu significado físico e de cada uma das suas componentes. (*Sugestão: Para a sua análise deverá ser proveitoso escrever o tensor em termos da corrente  $i = \dot{Q}$  e tensão  $v = \dot{P}$  e notar ainda que  $\partial_x Q = -cv$* )

- d) [3 val] Iremos agora considerar perdas ao longo da linha. Para as modelizar introduz-se uma resistência em série (com resistência  $rdx$ ) e outra em paralelo (com conductância  $gdx$ ) ao longo da linha, tal como esquematizado.



- (i) Argumente que a função de dissipação de Rayleigh que descreve este tipo de perdas se pode escrever

$$\mathcal{F} = \int \frac{1}{2} r \left( \frac{\partial Q}{\partial t} \right)^2 + \frac{1}{2} g \left( \frac{\partial P}{\partial t} \right)^2 dx$$

- (ii) Obtenha as novas equações para os campos  $Q$  e  $P$  agora com perdas e mostre que estas se podem reescrever, em termos da corrente  $i$  e tensão  $v$  ao longo da linha, como:

$$\begin{aligned} l \frac{\partial i}{\partial t} + \frac{\partial v}{\partial x} &= -ri \\ c \frac{\partial v}{\partial t} + \frac{\partial i}{\partial x} &= -gv, \end{aligned}$$

conhecidas como equações do telegrafo precisamente por modelizarem a propagação de um sinal num cabo de telegrafo. Por fim, combine-as para obter apenas a evolução da tensão

$$\frac{\partial^2 v}{\partial x^2} - lc \frac{\partial^2 v}{\partial t^2} = (rc + gl) \frac{\partial v}{\partial t} + grv.$$

- (iii) Partindo do resultado anterior determine a relação de dispersão para a propagação de ondas planas de tensão na linha de transmissão. Comente fisicamente o valor de  $\Im\{\omega(k)\}$